

螺綫天綫和開槽天綫

(科技情报参考資料)

內部資料

国防科学技术資料編輯部第四室

1962年4月

4571

20

4



7.3.4571
62r
14

前 言

在导弹工程中，有不少工作是要靠无线电波来完成的。而无线电波的发送和接收都得借助于天线，因此，天线便成为导弹电子设备的重要组成部分之一。

考虑弹上天线时，要注意几方面的要求。首先，在电气性能方面要满足方向图、阻抗和增益的要求，并要考虑到击穿问题；在机械性能方面则应注意空气动力、激震、温度变化等项要求，同时也要考虑结构紧凑性。其次，也不能忽视天线与导弹整体的依赖关系，比如，对多级火箭，就要想到其各级分离时所出现的情况。最后，有必要时，还应考虑到导弹轨道和地面站的位置与天线方向图的关系。

用途不同，对天线的要求也不同，因之导弹天线的型式亦是多种多样，下面只想简单地介绍一下螺旋（Spiral）天线和开槽（Slot）天线。

和其它类型天线相比，这二种天线有着许多独特的优点。它们能够齐平安装，而且所占的空间不大。它们除能满足定向性要求外，亦能满足全向性要求。再者，就极化而言，既能做成线极化的，又能做成圆极化的。此外，天线罩问题也比较简单。对螺旋天线来说，其宽带性能更算是优点之一。

从所见资料来看，国外在这二种天线方面作了不少工作，且已在导弹和飞机上正式使用。但不论是在理论方面，还是在工艺方面都还有许多工作要做。尤其是螺旋天线，更不过是最近几年的事，需要解决的问题那就更多了。但是，不管怎样，螺旋天线和开槽天线作为弹上天线还是非常理想的，并有着广阔的发展前途。

由于编译能力和业务水平的限制，文内定有许多不妥与错误之处，敬请读者指出，以便更正。



102697

目 录

DL36/06

第一部分 螺旋天线	(1)
I. 阿基米德螺旋天线	(1)
1. 工作原理	(1)
2. 工作模式	(11)
3. 参量及设计要点	(12)
4. 微电	(19)
5. 两个实验结果	(21)
6. 四臂阿基米德螺旋天线	(24)
7. 方形阿基米德螺旋天线	(27)
II. 等角螺旋天线	(28)
1. 等角螺旋天线	(28)
2. 弯刀天线	(34)
3. 范伦泰天线	(41)
III. 圆锥螺旋天线	(44)
IV. 球形螺旋天线	(48)
V. 螺旋天线阵	(48)
第二部分 开槽天线	(49)
I. 矩形波导开槽天线	(49)
1. 八木天线原理在微波天线中的应用	(50)
2. 设计考虑	(50)
3. 特性与应用	(52)
II. 矩形波导开槽天线	(52)
III. 谐振腔微电的矩形波导开槽天线	(54)
1. 物理概念与工作性能	(55)
2. 设计考虑	(57)
3. 介质温度特性	(58)
IV. 圆锥开槽天线	(59)
1. 圆锥上单个开槽的远场	(59)
2. 福克原理应用于圆锥开槽天线	(62)
3. 锥体上的特殊开槽天线阵的远场	(66)
4. 理论值与实验值的比较	(68)
V. 圆极化开槽天线	(72)
1. 工作原理	(72)
2. 实验结果	(76)
3. 各向同性的天线系统	(77)
VI. 其它问题	(77)

第一部分 螺线天线

有一类天线，它们的方向图和阻抗在相当宽的频带范围之内与频率无关，这就是所谓的频率无关天线。其形状的一般表示式为：

$$R = e^{a(\phi + \phi_0)} F(\theta)$$

其中 R, θ, ϕ 是球坐标， a 和 ϕ_0 是常数，而 $F(\theta)$ 则是 θ 的任意函数。对于此类天线而言，频率的变化只能引起方向图的转动。关于频率开关天线的基本考虑请参阅鲁门塞 (V. H. Rumsey) 的文章 [1]。

此类天线中最为典型的是螺线 (Spiral) 天线。除了电气性能好之外，它还适于平装，这就决定了螺线天线在导弹应用中的地位。

螺线天线既可是平面的，又可是球形的、柱形的或锥形的。另外，还可把它做成天线罩，起着透镜和反射器的作用。

I. 阿基米德螺线天线

1. 工作理论

对于阿基米德螺线 (算术螺线) 来说，目前尚无一套完整的理论。这里只打算介绍两种近似的分析方法，一种是半圆近似法，另一种是电流带法。前者偏重于数学分析，后者较为直观、定性。不论那种分析方法，都还与实验符合。

(1) 半圆近似法 [2]

要解决的问题是螺线天线的辐射性质，特别是平衡螺线在各个方向上的自由辐射。出发点是以一簇半圆代替螺线，并进而推出阿基米德螺线天线的辐射场。所用的基本方法是通过特征格林函数的体积分与电流分布来确定矢势。

矢势 \vec{A} 定义为

$$\nabla \times \vec{A} = \vec{H} \quad (1)$$

其中 \vec{H} 是磁场强度。在自由空间中

$$\vec{A} = \frac{1}{4\pi} \int_V \frac{\vec{I} e^{j(\omega t - \beta R')}}{R'} dv \quad (2)$$

这里 R' 是所考虑之点与电流元间的距离。坐标系如图 1-1 所示。

对于线源的情况，当只考虑辐射，也就是远场时，(2) 变成

$$\vec{A} = \frac{1}{4\pi R} \int_0^{S_0} \vec{I} e^{-j\beta R'} [S_\phi \vec{\phi} + S_\theta \vec{\theta}] ds \quad (3)$$

其中

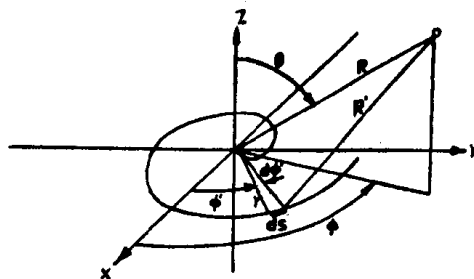


图 1-1 研究螺线用的坐标系

- S 是螺线的长度
 S_0 是螺线总长度
 ds 是螺线的长度元
 R' 是从 ds 到空间一点的径向距离
 $\vec{\phi}$, $\vec{\theta}$ 和 \vec{S} 是单位矢量
 S_ϕ 是 \vec{S} 和 $\vec{\phi}$ 间的方向余弦
 S_θ 是 \vec{S} 和 $\vec{\theta}$ 间的方向余弦
 I 代表螺线上的电流分布, 为 S 的函数
 $\beta = 2\pi/\lambda$
 R, θ, ϕ 是一般的球坐标
 r, ϕ' 是螺线的极坐标

容易证明,

$$R' \approx R - r \sin \theta \cos(\phi - \phi') \quad (4)$$

方向余弦和长度元由极坐标给定

$$S_\phi ds = r d\phi' \cos(\phi - \phi') - dr \sin(\phi - \phi') \quad (5)$$

$$S_\theta ds = \cos \theta [rd\phi' \sin(\phi - \phi') + dr \cos(\phi - \phi')] \quad (6)$$

螺线的描述

螺线的一般方程为

$$r = f(\phi') \quad (7)$$

螺线长

$$S = \int_0^{\phi'} \left[\left(\frac{dr}{d\phi'} \right)^2 + r^2 \right]^{1/2} d\phi' \quad (8)$$

上述函数关系很复杂。对由

$$r = r_0 + a\phi' \quad (9)$$

所定义的阿基米德螺线而言, 则有

$$S = \left(\frac{r_0 + a\phi'}{2a} \right) \left[(r_0 + a\phi')^2 + a^2 \right]^{1/2} + \frac{a}{2} \ln \left[r_0 + a\phi' + \left\{ (r_0 + a\phi')^2 + a^2 \right\}^{1/2} \right] - S_1 \quad (10)$$

这里

$$S_1 = \frac{r_0}{2a} \left[r_0^2 + a^2 \right]^{1/2} + \frac{a}{2} \ln \left[r_0 + \left(r_0^2 + a^2 \right)^{1/2} \right] \quad (11)$$

如果 (3) 可积, 那么就必須选取这样的螺线, 使得长度为 ϕ' 的简单函数, 例如 S 可直接正比于 ϕ' 角

$$S = a\phi' \quad (12)$$

和圆弧相比, 螺线长 S 并不比圆弧长。当然, 圆弧不是螺线, 但是, 利用不同半径的一簇半圆, 就可以做成任意匝数的螺线, 如图1—2所示。与阿基米德螺线比较, 二者还是相当接近的, 如图1—3所示。

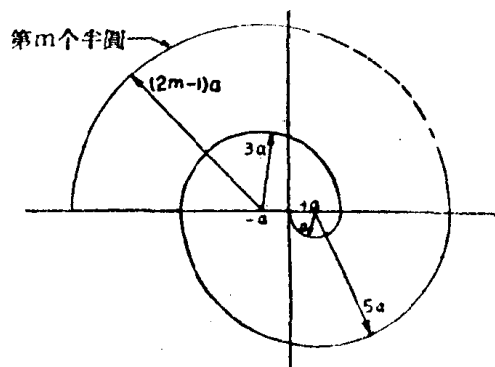


圖1-2 由半圓做成的螺綫

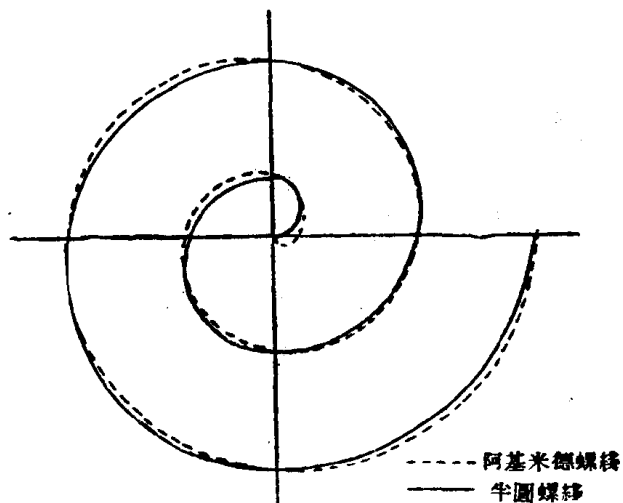


圖1-3 阿基米德螺綫与半圓螺綫的比較

電流分布

一般，皆認為電流分布為正弦形，亦即電流有兩個分量，一為向外的行波，一為向內的行波（反射波）。這一分布可寫成

$$I = I_0 [e^{-\gamma S} + K e^{\gamma S}] \quad (13)$$

其中， $\gamma = \alpha - j\beta$ ， α 是衰減常數， β 是相位常數， K 是反射係數，並為螺綫總長的函數。因為目前所考慮的是薄螺綫或輻射綫源，故電流在螺綫的終端是零，從 (13)

$$e^{-\gamma S_0} + K e^{\gamma S_0} = 0 \quad (14)$$

故

$$K = -e^{-2\gamma S_0} \quad (15)$$

將假定 $\beta = 2\pi/\lambda$ ，即與自由空間中平面波的相位常數一樣。 α 的值取決於螺綫的臂寬，並且是電流衰減的量度。可把這一衰減看成是由於輻射所導致的損耗。對小於波長的綫天綫而言，小的 α 值不會改變 α 為零時所應得之電流，因此，可忽略不計。根據用來驗證這一理論的螺綫來看， α 大約是 $1/3\lambda$ 左右。

单个半圓的輻射

使半圓在 $x-y$ 平面中，且圓心在原點上，如圖1-4所示。利用(3)的 ϕ 分量，並且以上角標 1 表示单个半圓的特殊形狀，得

$$A_{\phi}^1 = \frac{1}{4\pi R} \int_0^{S_0} I e^{-j\beta R'} S_{\phi} ds \quad (16)$$

其中

$$S_{\phi} ds = a d\phi' \cos(\phi - \phi') \quad (17)$$

$$S = a\phi' \quad (12)$$

$$R' = R - a \sin\theta \cos(\phi - \phi') \quad (4)$$

$$I = I_0 (e^{-\gamma S} + K e^{\gamma S}) \quad (13)$$

把上述諸式代進 (16)，得

$$A_{\phi}^1 = \frac{I_0 a e^{j(\omega t - \beta R)}}{4\pi R} \int_0^{\pi} (e^{-\gamma a\phi'} + K e^{\gamma a\phi'}) e^{j\beta a \sin\theta \cos(\phi - \phi')} \cos(\phi - \phi') d\phi' \quad (18)$$

利用貝塞爾函數恆等式

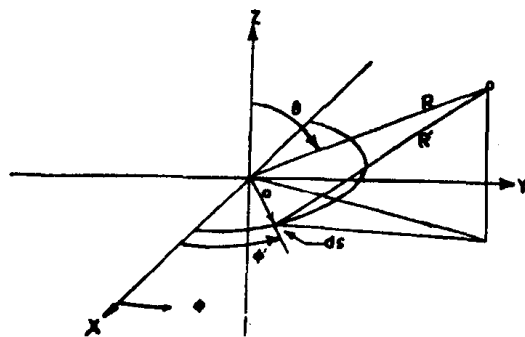


圖1-4 計算一个半圓輻射場用的坐标系

$$e^{jx \cos(\phi - \phi')} = \sum_{n=-\infty}^{\infty} j^n e^{jn(\phi - \phi')} J_n(x) = J_0(x) + 2 \sum_{n=1}^{\infty} j^n J_n(x) \cos n(\phi - \phi') \quad (19)$$

进行积分运算，最后得

$$A_{\phi}^I = C \sum_{n=-\infty}^{\infty} j^n e^{jn\phi} J_n(x) \cdot \left[\left((-1)^n e^{-\pi d} + 1 \right) \left(\frac{(d + jn) \cos \phi + \sin \phi}{(d + jn)^2 + 1} \right) \right. \\ \left. + K \left((-1)^n e^{\pi d} + 1 \right) \left(\frac{(-d + jn) \cos \phi + \sin \phi}{(-d + jn)^2 + 1} \right) \right] \quad (20)$$

和

$$A_{\theta}^I = C \cos \theta \sum_{n=-\infty}^{\infty} j^n e^{jn\phi} J_n(x) \cdot \left[\left((-1)^n e^{-\pi d} + 1 \right) \left(\frac{(d + jn) \sin \phi - \cos \phi}{(d + jn)^2 + 1} \right) \right. \\ \left. + K \left((-1)^n e^{\pi d} + 1 \right) \left(\frac{(-d + jn) \sin \phi - \cos \phi}{(-d + jn)^2 + 1} \right) \right] \quad (21)$$

其中

$$C = \frac{I_0 a e^{j(\omega t - \beta R)}}{4\pi R} \quad (22)$$

$$d = \gamma a = (\alpha - j\beta) a \quad (23)$$

$$x = \beta a \sin \theta \quad (24)$$

反相饋电的两个半圆之輻射

对于由一端进行饋电的单个半圆来说，其輻射場已由前节确定，但在实际上，这是不能实现的。所必须做的是或加上一个接地系統，或做成对称天綫系統由平衡綫饋电。下面将要考虑的是再加上一个半圆，組成对称形状，并进行反相饋电，如图1-5所示。

借助于坐标系的平移与旋轉可确定平衡天綫的輻射場。如果单个半圆的原点有一平移，那么矢势的相位因子就要乘上

$$e^{j\beta \vec{R} \cdot \vec{a}} = e^{j\beta a \cos \tau} = e^{-j\beta a \cos \phi \sin \theta} \quad (25)$$

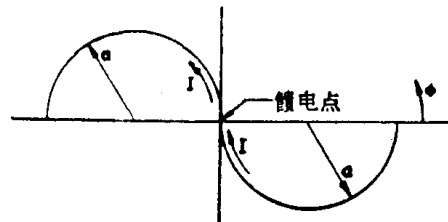


圖1-5 由二个半圆組成的平衡綫

如图1-6所示， \vec{a} 是新旧原点間的矢量距离， \vec{R} 是新坐标系中R方向上的单位矢量， τ 是 \vec{R} 与 \vec{a} 之間的夹角。令 A^{II} 表半圆經過平移以后的矢势，則

$$A^{\text{II}} = A^{\text{I}} e^{-j\beta a \cos \phi \sin \theta} = \sum_{n=-\infty}^{\infty} A_n^{\text{I}} e^{-jy} \quad (26)$$

其中 $y = \beta a \cos \phi \sin \theta$ (27)

而 A_n^{I} 除了求和号外，与 (20) 和 (21) 完全一样。

为确定半圆旋轉180°后（位置2）的輻射場 A^{II} ，在 (20) 和 (21) 中用 $(\phi + 180^\circ)$ 代替 ϕ 之后，便得

$$A^{\text{II}} = \sum_{n=-\infty}^{\infty} (-1)^{n+1} A_n^{\text{I}} \quad (28)$$

如果半圆旋轉过后其原点再移动一段距离，如位置3所示，則有

$$A^N = A^I e^{jy} = \sum_{n=-\infty}^{\infty} (-1)^{n+1} A_n^I e^{jy} \quad (29)$$

A^I 与 A^N 之差就是由平衡螺旋线的两个半圆之辐射场

$$A^V = \sum_{n=-\infty}^{\infty} A_n^I [e^{-jy} + (-1)^n e^{jy}] \quad (30)$$

由任意个半圆所组成之平衡螺旋线的辐射

下一步工作是把上面的结果推广到任意匝数的情况。下面用 m 表示每个平衡螺旋线中所包涵的半圆数目，如图1-7所示。

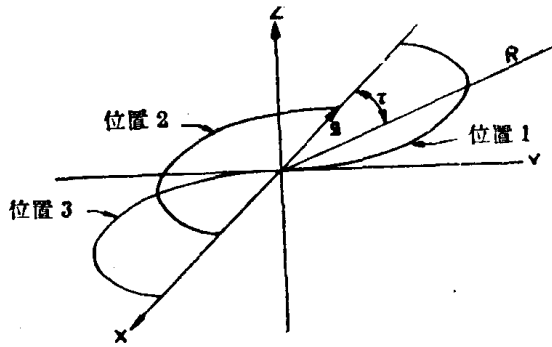


圖1-6 組成平衡螺旋线的单个半圆位置

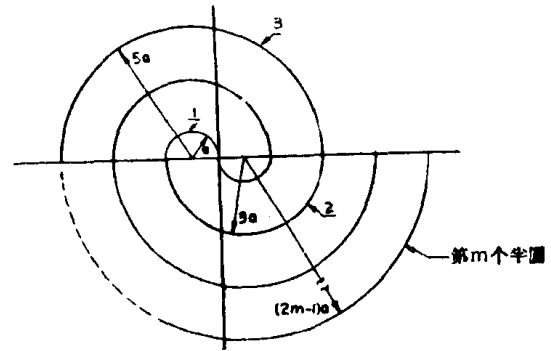


圖1-7 由m个半圆所组成的平衡螺旋线

算出电流分布，再利用贝塞尔函数进行积分，最后可得由任意个半圆所组成之平衡螺旋线的辐射场。

如果只考虑 $\phi = 0^\circ$ 和 $\phi = 90^\circ$ 的两个特殊平面，则可得

$$A_\theta \Big|_{\phi=0^\circ} = 2C \cos \theta \sum_{k=1}^m \left\{ -\frac{1}{2} C_{k,0} J_0(x_k) \cos x_1 + \sum_{l=1}^{\infty} [B_{k,2l-1} J_{2l-1}(x_k) \sin x_1 - C_{k,2l} J_{2l}(x_k) \cos x_1] \right\} \quad (31)$$

$$A_\theta \Big|_{\phi=90^\circ} = 2C \cos \theta \sum_{k=1}^m \left\{ -\frac{1}{2} D_{k,0} J_0(x_k) + \sum_{l=1}^{\infty} (-1)^l D_{k,2l} J_{2l}(x_k) \right\} \quad (32)$$

$$A_\phi \Big|_{\phi=0^\circ} = 2C \sum_{k=1}^m \left\{ \frac{1}{2} D_{k,0} J_0(x_k) \cos x_1 + \sum_{l=1}^{\infty} [E_{k,2l-1} J_{2l-1}(x_k) \sin x_1 + D_{k,2l} J_{2l}(x_k) \cos x_1] \right\} \quad (33)$$

$$A_\phi \Big|_{\phi=90^\circ} = 2C \sum_{k=1}^m \left\{ -\frac{1}{2} C_{k,0} J_0(x_k) + \sum_{l=1}^{\infty} (-1)^l C_{k,2l} J_{2l}(x_k) \right\} \quad (34)$$

其中

$$B_{k,2l-1} = \frac{2(-1)^k (-1)^l (2k-1) (-d_k + (2l-1)^2 - 1)}{(d_k^2 + (2l-2)^2)(d_k^2 + (2l)^2)} [-e_1 + e_2 + e_3 - e_4]$$

$$C_{k,2l} = \frac{2(-1)^k (-1)^l (2k-1) (-d_k^2 + 4l^2 - 1)}{(d_k^2 + (2l-1)^2)(d_k^2 + (2l-1)^2)} [+e_1 + e_2 - e_3 - e_4]$$

$$D_{k, 2l} = \frac{-2(-1)^k (-1)^l (2k-1)d(d_k^2 + 4l^2 - 1)}{(d_k^2 + (2l-1)^2)(d_k^2 + (2l-1)^2)} [+e_1 + e_2 + e_3 + e_4]^l$$

$$E_{k, 2l-1} = \frac{2(-1)^k (-1)^l (2k-1)^2 d(d_k^2 + (2l-1)^2 + 1)}{(d_k^2 + (2l-2)^2)(d_k^2 + (2l)^2)} [-e_1 + e_2 - e_3 + e_4]$$

$$C_{k, 0} = \frac{-2(-1)^k (2k-1)}{1 + (2k-1)^2 d^2} [+e_1 + e_2 - e_3 - e_4]$$

$$D_{k, 0} = \frac{-2(-1)^k (2k-1)^2 d}{1 + (2k-1)^2 d^2} [+e_1 + e_2 + e_3 + e_4]$$

$$d = \gamma a = (\alpha - j\beta) a$$

$$d_k = (2k-1)d$$

$$e_1 = e^{-\pi(k-1)^2 d}$$

$$e_2 = e^{\pi(k-1)^2 d}$$

$$e_3 = e^{-\pi(2m^2 - k^2) d}$$

$$e_4 = e^{-\pi(2m^2 - (k-1)^2) d}$$

$$x_k = (2k-1)\beta a \sin \theta$$

$$C = \frac{I_0 a}{4\pi R} e^{j(\omega t - \beta R)}$$

A的另外一个重要的分量是轴上的极化，即 $\theta = 0$ 时的 A。此时， A_θ 与 A_ϕ 已无甚差别，因为把坐标系旋转 90° 后，二者便一样了。这里

$$A_\theta \Big|_{\theta=0} = C \sum_{k=1}^m (D_{k, 0} \sin \phi - C_{k, 0} \cos \phi) \quad (35)$$

对由 m 个半圆所组成的螺旋线而言，其辐射场的方程就如上所述。在远场情况

$$\vec{E} = -j\omega\mu \vec{A} \quad (36)$$

这就说明，定义为 \vec{E} 的绝对值的电压方向图将与 \vec{A} 的绝对值成正比。

理论结果的实验证明

$m = 1, 2, 3$ 时的实验方向图与理论方向图都相当一致。图1—8为 $m = 3$ 时两种方向图的比较。 $m = 7$ 时的理论方向图示于图1—9中。

轴上的极化

可以用极化率来量度极化。极化率的定义为 (35) 中的最小值与最大值之比。因之圆极化的极化率应当是 1，而线极化的极化率应是零。不同 m 值时的半圆，其极化率与 βa 的关系如图1—10所示。

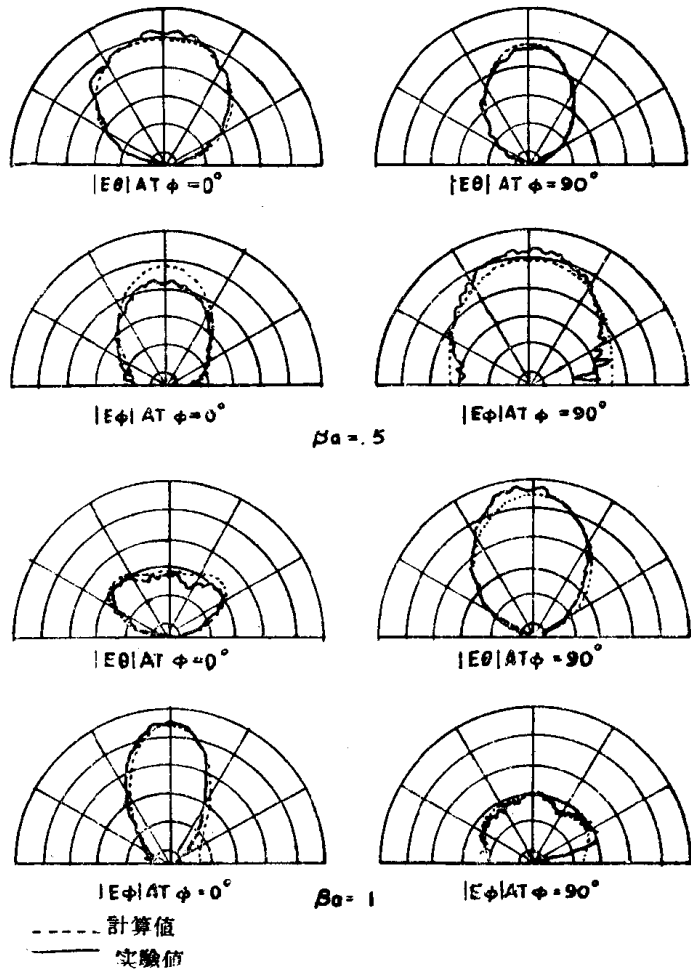


圖1-8 半圓螺綫($m=3$)的远場方向圖

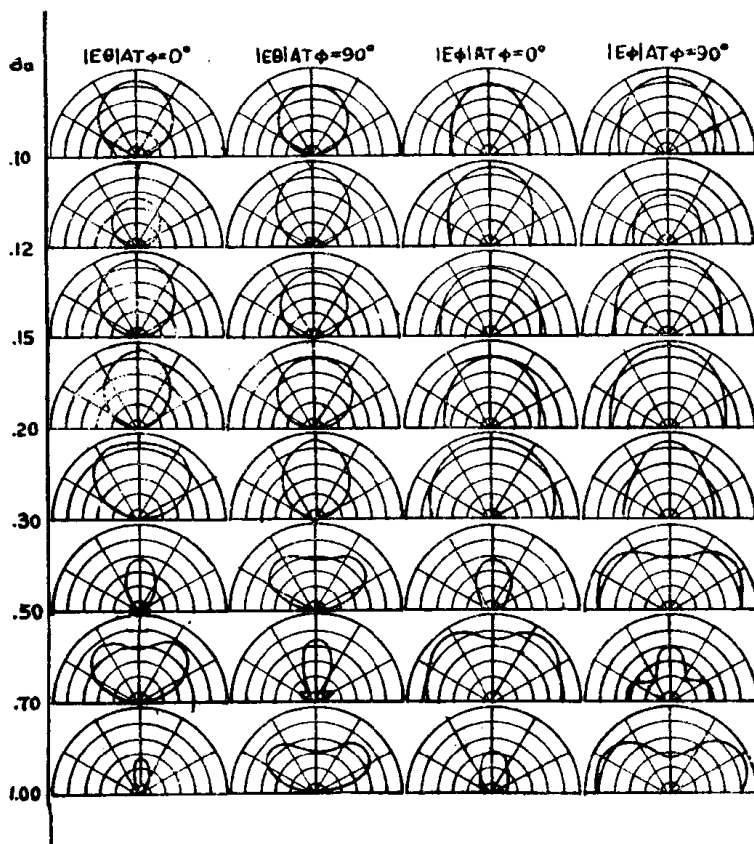


圖1-9 $m=7, \alpha=1/3\lambda$ 时的半圓螺綫方向圖

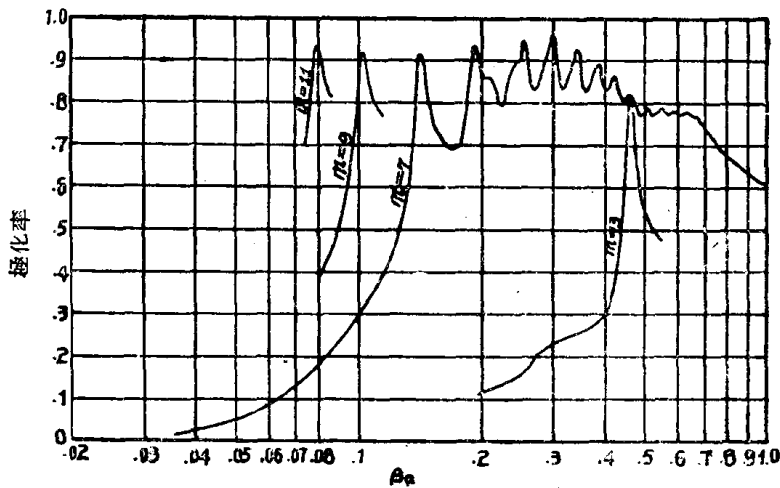


圖1-10 半圓螺綫的極化率

极化在一定程度上决定了天綫的可用帶寬。通常，要求螺綫天綫的极化为圓极化，故由极化率即可决定頻率的上限与下限。

根据图1-10，我們看到可用頻率的下限是极化图中的第一个峯值。图1-11表示相应于这→峯值的螺綫外直径与 m 的函数关系。重要的是当螺綫的匝数增加时，相应于极化曲线中第一个峯值的直径接近于半波长。

由极化图决定上限頻率不太方便。不过，根据表征主瓣开裂成两个波瓣的方向图，就能选择上限頻率。当 βa 大于或等于 1 时，方向图的开裂出現，亦即是第一个半圓或饋电半圓的长度等于半波长时，开裂出現，这可由图1.10看出。

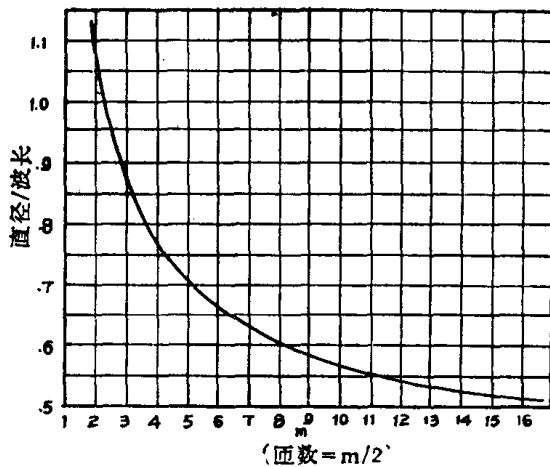


圖1-11 相应于极化曲线中第一个峯值的外直径与波长之比作为匝数 ($\frac{m}{2}$) 的函数

(2) 电流带法 [3][4]

这种理論指出，螺綫的輻射主要是在螺綫表面的电流带上进行，在这样的地方，相鄰螺綫元中的电流最接近于同相。如果向螺綫的饋电使得进入两个螺綫元的能量在中心处有着 180° 的相位差，那么第一个电流带就将在一臂中的电流轉过一圈时而与另一臂中电流为同相的地方出現。这一条件之所以能出現是因螺綫的几何形状所致；也就是說，螺綫的每下一匝都要比上一匝长。几何分析表明，相鄰螺綫元中的电流达到同相条件是出现在环的圓周等于一个波长之时。

参看图1-12，在原点附近，两螺綫元中的电流反向，以致沒有或者是只有少量的輻射。离开原点較远时，相鄰螺綫元中电流的相位关系变得紊乱起来，沒有什么規律，因之这一区域的輻射也不大。只有在圓周为一个波长时，相鄰螺綫元中的电流才同相，也就是在这一地方及其附近才存在輻射的条件。

令A和A'表示同一螺线元上，同一直径两端上的微电流元，并使得弧长AA'恰为半波长。此时，电流向量A和A'便为同相，这一方面是由螺线的几何形状所致，另一方面也是由于AA'等于半波长而使电流向量A与A'的方向相反所致。相应于电流元A，在另一个螺线元上，有一电流元B，并有着同样的相对相位。电流元B和A在同一直径的两端处，并与原点等距。因此A, A', B和B'在同一直线上，且方向相同。推广之，便可知存在平均直径为 λ/π 的有限宽度电流带。在这电流带中相邻螺线元的电流同相或接近同相。这就是第一个辐射带。

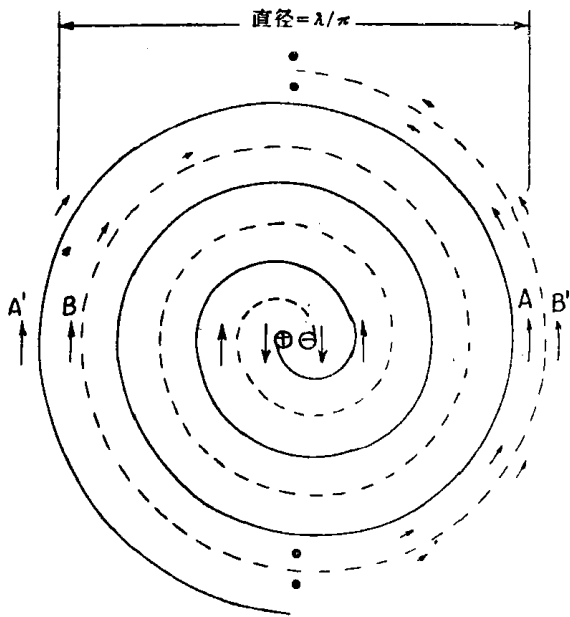


圖1-12 垂直模式或第一种辐射带

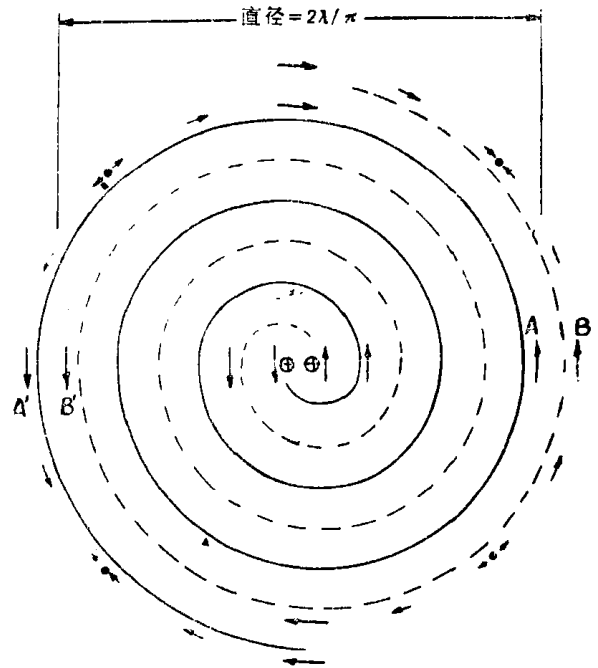


圖1-13 轴模式或第二种辐射带

对每一组位在辐射带之内，同一个直径之上的微电流元，存在一组相应的电流元，它的相位在时间和空间方面对前者来说皆差 90° ；因此，辐射是圆极化的。此外，由于螺线的形状，也就决定了方向图是双向性的。

如果向螺线的馈电使得进入二个螺线元的能量在中心有着相同的相位，如图1-13所示。那么要满足相邻导体中电流为同相的条件，同相馈电时所要求的距离为反相馈电时所要求之距离的二倍。这个条件将在圆弧长AA'等于一个波长处出现。即使在中心地方，相邻两螺线元中的电流为同相，但由于螺线的几何形状，也会使得前述关系只能在很少几匝中成立，而且由于紧靠螺线元之后还有金属板，这一区域的辐射也会受到遏抑。除了前面提过的主电流元之外，还有次电流元的存在，而这两种电流元在相位上相反，因此，沿垂直于螺

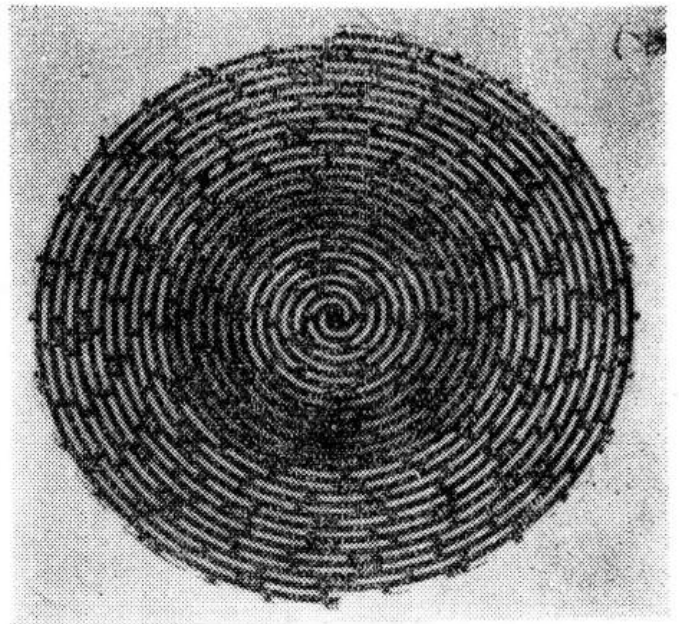


圖1-14 12匝螺线，工作在下限频率时电流带的图示

綫平面的軸，方向圖有一零点。還要指出，在螺綫附近，場是圓極化的，而以各種角度離開軸時，則是橢圓極化的。

實驗表明，當離開螺綫很遠時，附加的電流帶存在，但它只輻射小部分能量，而絕大部分還是出自主帶。

採用作圖法，能夠沿着螺綫確切地標繪出電流的相位〔3〕。假定了正弦分布後，螺綫元中的電流可用標明正負極性的箭頭來代表。當螺綫工作在下限頻率時，其電流帶如圖1.14所示。根據表示電流方向的箭頭，可測察到螺綫元中的相位關係。圖1—14中螺綫的饋電是同相的。每一臂中的電流皆沿螺綫元向外流動，經過 $\lambda/2$ ，然後倒向。由於兩螺綫元是同相饋電的，所以中心處相鄰螺綫元中電流為同相的區域很小；然而，與主電流帶相比，由於這一區域太小，同時在這區域之後有匹配板，故在這裡產生的輻射很少或者根本沒有。由於螺綫元的幾何形狀，在圓周約為兩個波長時螺綫元中的電流便開始同相排列。圖1—15所示的螺綫與圖1—14所示的螺綫其大小，形狀完全一樣，只不過是工作頻率較高而已。因為波長有所降低，因而電流帶的位置亦向內移至圓周仍為二倍波長之處。頻率更高時的情況示於圖1—16之中，此時電流帶在圓周方面又有所減少。顯然，螺綫天綫隨着工作頻率的變化而改變它的孔徑，因而在一個方向上保持其與頻率無關的特性。此外，由圖1—16還可看到，在螺綫的外圓周上存在次電流帶，正是由於這一電

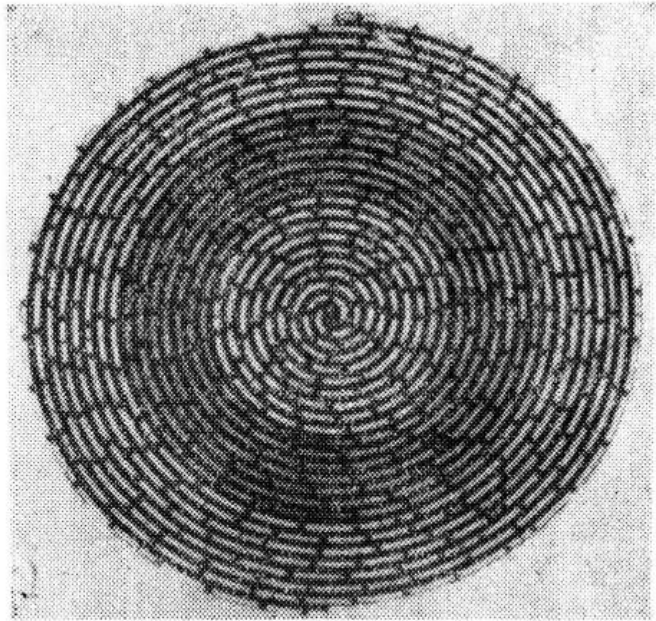


圖1—15 12匝的螺綫，在中間頻率上工作時電流帶的圖示

流帶的存在，才使得頻率較高時，全向性方向圖這一點變壞。以軸模式工作的螺綫，其波束有點開裂，也歸結於次電流帶的結果。

如果不考慮次電流帶，那麼理論的上限截止頻率只由螺綫中心處的公差和所採用之匹配板的尺寸決定。

由電流帶圖示法還可決定既定直徑的螺綫天綫以垂直模式工作時的下限頻率。參看圖1—15，於1525MC時，完全包括電流帶所要求的直徑為15.3厘米。波長給定時，以垂直模式工作所要求的直徑由下式確定

$$D = \frac{2.5\lambda_L}{\pi}$$

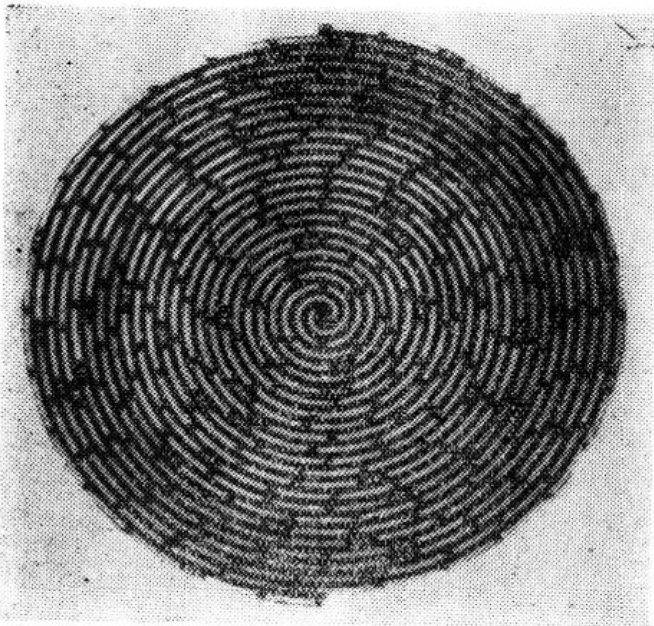


圖1—16 12匝的螺綫，工作在下限頻率時電流帶的圖示

其中 $D =$ 所要求的直径
 $\lambda_L =$ 以最低频率工作时的波长
 由前述诸电流带的标示图看到, 电流带的宽度近似为 $\lambda/7$ 。

(3) 电流环法 [17][18]

除了前面的半圆近似法与电流带法之外, 还可用电流环法对阿基米德天线的辐射性质进行分析。此法的实质为把螺线看成是圆周等于一个波长的电流环。图1-17即表示这一情况, 电流环与接地平面的距离为四分之一波长。在假定了电流分布为 $I_0 e^{-j(\phi'-\alpha)}$ 之后, 其方向图的表达式形如

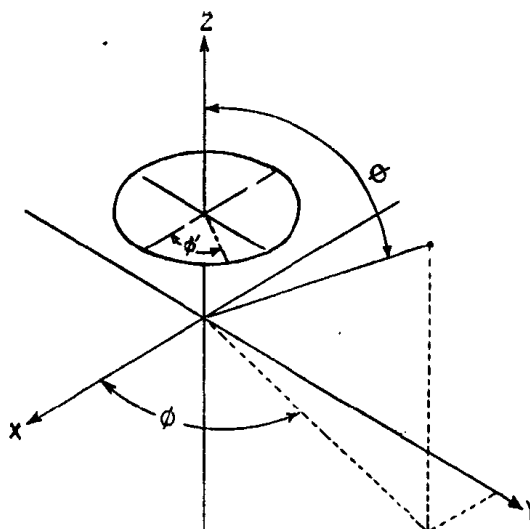


图1-17 接地板上的一个波长的电流环

$$E_\theta = jK \sin\left(\frac{\pi}{2} \cos\theta\right) \cos\theta e^{\pm j(\phi-\alpha)} e^{-j\frac{\pi}{2} \cos\theta} \left[J_0(\sin\theta) + J_2(\sin\theta) \right]$$

$$E_\phi = \pm K \sin\left(\frac{\pi}{2} \cos\theta\right) e^{\mp j(\phi-\alpha)} e^{-j\frac{\pi}{2} \cos\theta} \left[J_0(\sin\theta) - J_2(\sin\theta) \right]$$

极化椭圆轴比率为

$$\left| \frac{E_\theta}{E_\phi} \right| = \cos\theta \left[\frac{J_0(\sin\theta) + J_2(\sin\theta)}{J_0(\sin\theta) - J_2(\sin\theta)} \right]$$

式中, 上面的符号代表右旋螺线, 而下面的符号则代表左旋螺线。

在轴上 ($\theta=0$) 为圆极化, 而在螺线平面上则为线极化; 当 $\theta=30^\circ$ 时, 轴比率等于 1 分贝, 当 $\theta=45^\circ$ 时, 等于 3 分贝, 随着螺线旋转 α_0 度, 辐射场相位也变化 α_0 。

2. 工作模式 [3]

不论是阿基米德螺线天线还是以后将要提到的等角螺线天线, 其工作模式都有轴模式与垂直模式两种。馈电点上的相位关系决定了天线的工作模式。如果向两个螺线元馈电时有着 180° 的相位差, 则出现轴模式辐射, 此时最大辐射出现在与螺线平面垂直的平面中。若在螺线元之后放一反射空腔, 那么就将出现与螺线平面垂直

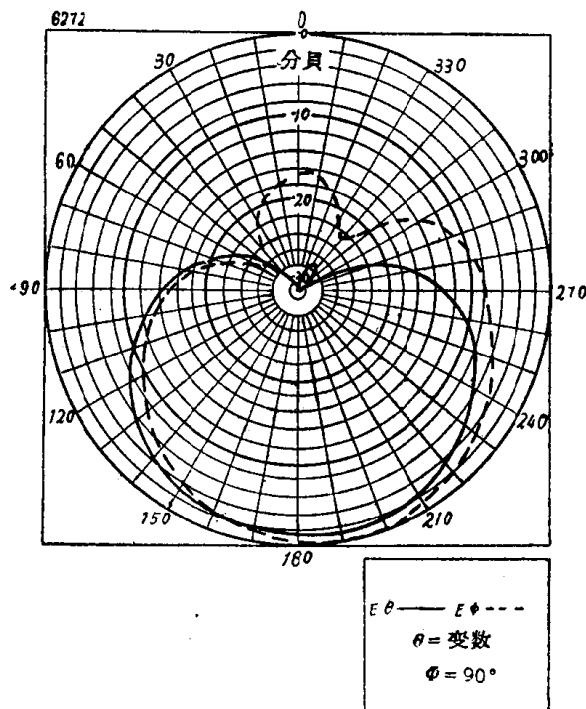


图1-18 θ 平面方向图 (装有空腔, 以轴模式工作)

的单瓣方向图，如图1—18所示。天线在坐标系中所取的方向如图1—19所示。如果向两个螺旋线的馈电是同相的，则垂直模式的辐射出现，辐射场在螺旋线所在平面内有一最大值。于垂直模式工作时使用反射空腔就要使得最大辐射值在离开螺旋线平面约 50° 之处出现。结果，方向图出现了开裂，如图1—20所示。由前两图还可看到，不论是哪种工作模式都是圆极化的。

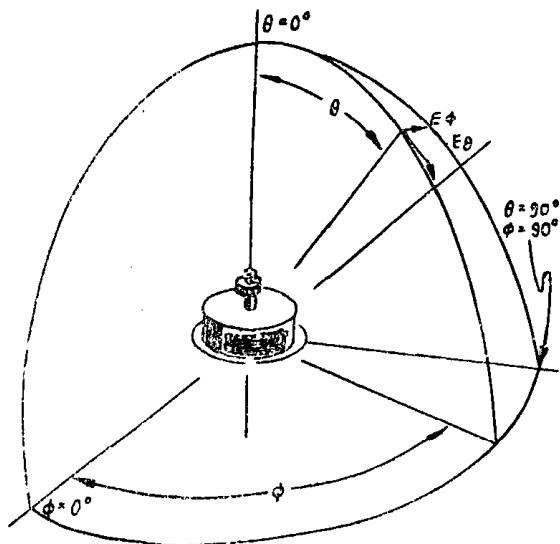


图1—19 天线坐标系

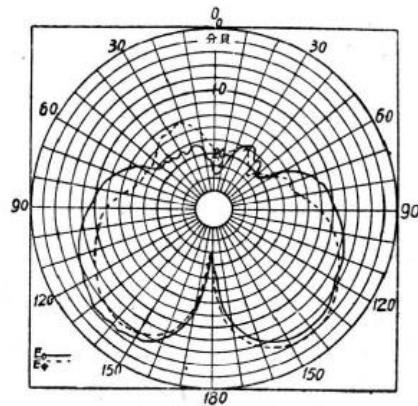


图1—20 θ 平面方向图（装有空腔，以垂直模式工作）

3. 参量及设计要点 [3] [4] [6]

三种双臂螺旋线的形状示于图1—21之中。这里只讨论圆形阿基米德螺旋线。

对于阿基米德螺旋线天线而言，四条曲线定义了两个螺旋线导体元的边界。曲线的方程为

$$r = a\theta + b$$

r 与 θ 分别为极坐标中的矢径与幅角， a 和 b 是任意常数。 a 称为螺旋线的增长率。四条曲线的 a 都一样，但 b 不同。通常，第一个导体绕原点旋转 180° 即成为第二个导体。如果 b_1 和 b_2 是决定螺旋线一条臂的两条曲线的参量，则 $W = |b_2 - b_1|$ 即是导体（或螺旋线元）的宽度。通常

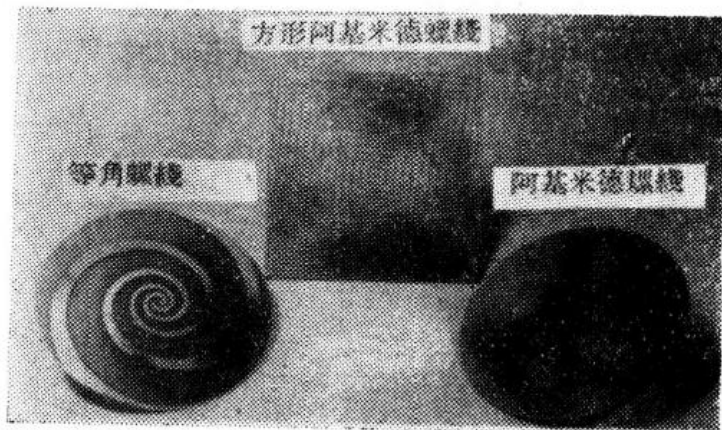


图1—21 双臂螺旋线的几何形状

是使导体的宽度与导体间的距离相等，在这种情况下， a 与 W 的关系是 $a = 2W/\pi$ 。

由于不需要双向性的方向图，故在螺旋线之后装上一个反射空腔。在设计时要考虑如何选择最佳参量，以满足实用的要求。这些参量是导体间的距离，螺旋线增长率，螺旋线直径，空腔尺寸等。另外，考虑到方向图的平滑性，匝数也是值得注意的参量之一。

空腔的直径与螺旋线的直径

如前所述，当螺旋线直径小于 λ/π 时，增益不大，随着直径的增加，增益逐渐加大，最后到

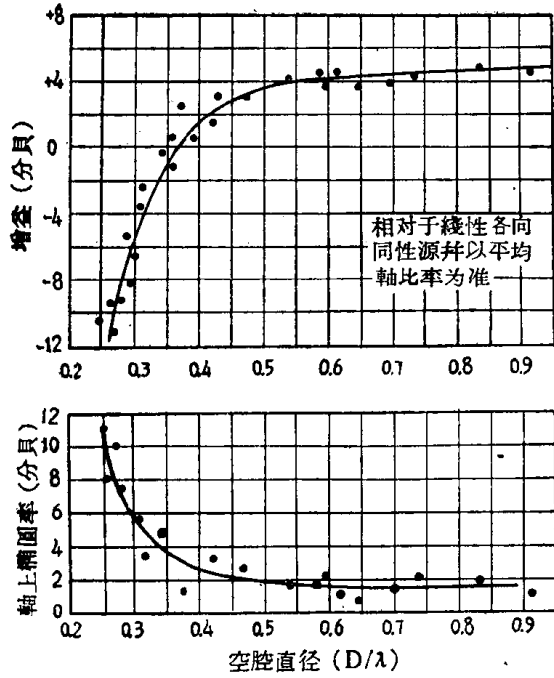


圖1-22 空腔直徑的效应

但天綫的增益却不受影响，如图1-23所示。这一結果之所以产生是由于增益是以平均軸比率为准来标准化的。軸比率还有不足之处是由于“第二带”的輻射所致，这个場或加在“第一带”的輻射場上，或由“第一带”的輻射場減去該場，以致改变了軸比率，而不改变标准化增益。

总之

- (1) 空腔的直径要选择得与螺綫的直径相等。
- (2) 空腔直径太小会降低增益，增加电压駐波比，增加橢圓率。

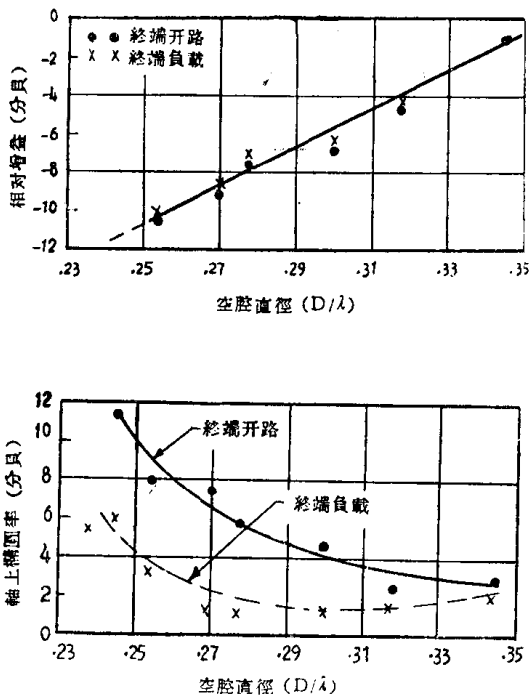


圖1-23 螺綫外端負載的影响

达某一上限，如图1-22上方所示。軸上橢圓率与空腔直径的关系示于图1-22下方之中。

我們知道，由原点向外沿螺綫运行的能量要以圓极化方式輻射掉（順时針方向）。在“第一带”上所輻射掉的輸入能量的百分数与螺綫的直径有关。一直到最后还没有輻射掉的那部份能量被反射并向原点运行。反射的能量中，一部份輻射掉（逆时針方向），一部份又出现在輸入处。因之，螺綫在以順时針方向輻射能量的同时也以逆时針方向輻射能量。結果輻射場变成了橢圓极化，或者是在 $D < \lambda/\pi$ 的极端情况变成了綫极化。

值得注意的是当螺綫外端有着电阻或吸收材料时，能够改进軸比率〔4〕〔12〕，

- (3) 空腔直径太大会使方向图發生畸变。

空腔深度

空腔深度对螺綫天綫軸上增益的影响如图1-24所示，所示增益已以平均軸比

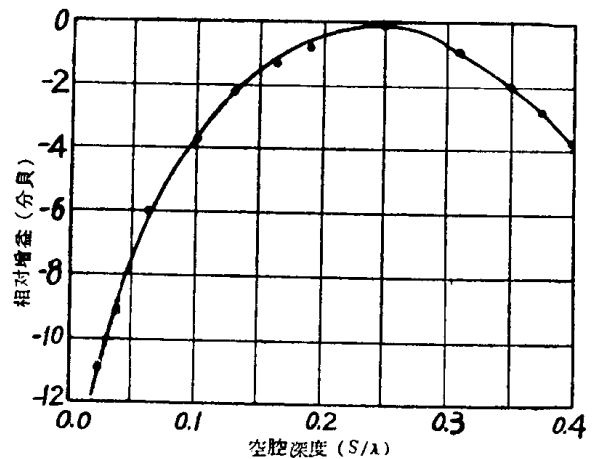


圖1-24 空腔深度的影响

率为准而进行了标准化，并对输入电压驻波比做了修正。深度等于 0.25λ 时增益最大；带宽不超出 3.3: 1 时，增益的变化不超过 3 分贝。

实验证明，电压驻波比与空腔深度的关系不大。

不同深度的方向图如图 1-25 所示。可看到深度小于某一值时，全向性会破坏，且当工作在频带的下端时，方向图亦与频率有关。

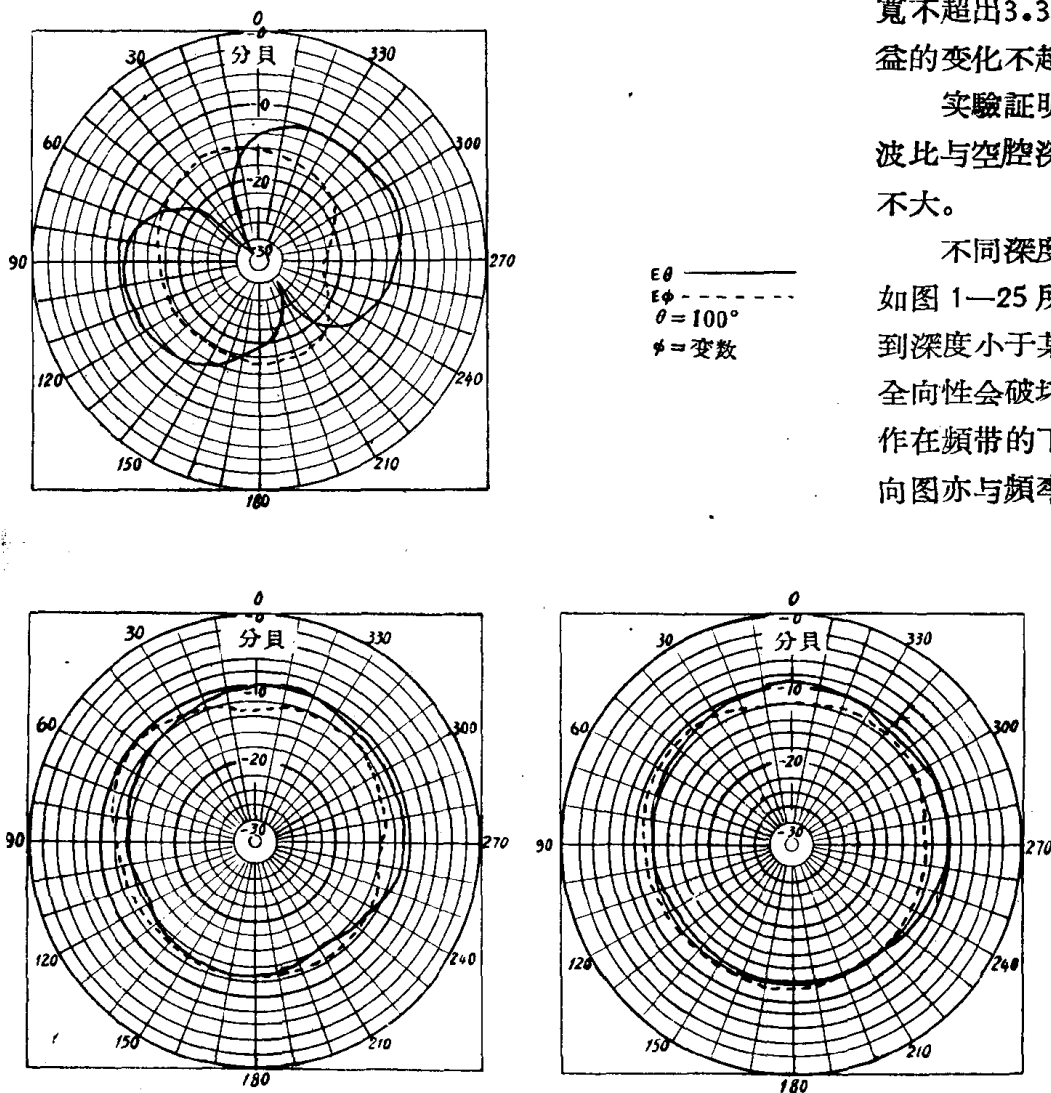


圖1-25 不同空腔深度的方向圖

此外，在文献〔3〕中，还给出了以垂直模式工作时求最小空腔深度的经验公式（看来，下面的公式与图 1-24 的结果相差不是很大）

$$S = \frac{\lambda_{\text{最大}}}{5.9}$$

S = 天綫以垂直模式工作时的最小空腔深度。

$\lambda_{\text{最大}}$ = 最大工作波长。

在以轴模式工作时，作者指出，由于辐射垂直于螺綫平面，故要求深度要小于四分之一最短工作

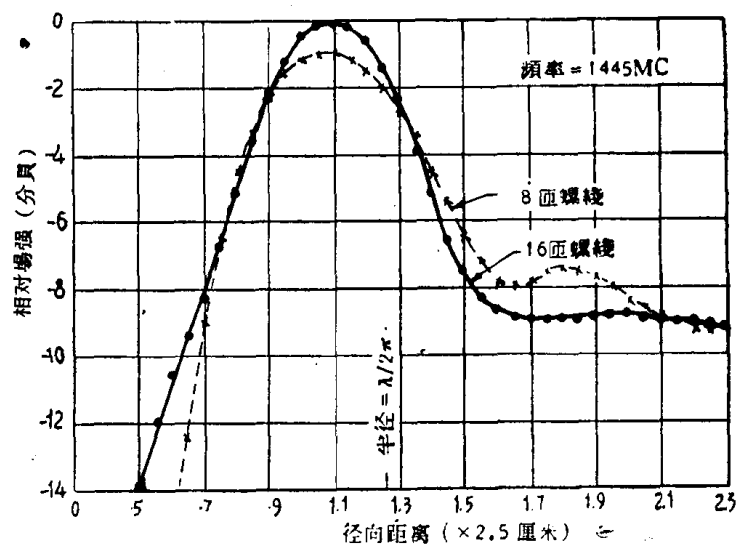


圖1-26 螺綫增長率与沿螺綫面的場分布關係